

СТИМУЛИРОВАННАЯ ЭЛЕКТРОЛЮМИНЕСЦЕНЦИЯ В СЕЛЕНИДЕ ГАЛЛИЯ

Г.И. Абуталыбов

Процесс экситон-экситонного взаимодействия, приводящий к неупругому рассеянию экситонов, часть из которых диссоциирует на свободные электрон и дырки, а другая — рекомбинирует излучаясь [¹⁻³], обнаружен впервые в спектрах электролюминесценции селенида галлия при 77 К, стимулированного излучения.

В настоящем сообщении приводятся результаты низкотемпературного исследования спектров электролюминесценции в GaSe при различных напряженностях прикладываемого к образцу электрического поля E в геометриях наблюдения: $\mathbf{q} \perp \mathbf{C}$ и $\mathbf{q} \parallel \mathbf{C}$, где \mathbf{q} — волновой вектор излучения, \mathbf{C} — оптическая ось кристалла.

Эксперименты проводились на выращенных методом Бриджмена-Стокбаргера образцах GaSe размерами $3 \times 5 \times 0.1$ мм с удельным сопротивлением $10^5 - 10^6$ Ом · см при 300 К, получаемых простым скальванием вдоль плоскости спайности. Контакты ставились на свежесколотую поверхность, электродом служил сплав In-Ga. В соответствии с результатами рентгеноструктурного анализа для исследований выбирались образцы, где ϵ -политип наиболее превалировал над другими модификациями.

На рис. 1 представлена серия спектров электролюминесценции GaSe при 77 К в двух геометриях наблюдения ($\mathbf{q} \perp \mathbf{C}$, $\mathbf{q} \parallel \mathbf{C}$) по мере увеличения напряженности прикладываемого электрического поля. На рис. 2 и 3 представлены зависимости интенсивности излучения линии A от напряженности электрического поля ($\mathbf{q} \parallel \mathbf{C}$) и длин волн ($\mathbf{q} \perp \mathbf{C}$) в увеличенном масштабе. Энергетическое положение наблюдавшихся линий электролюминесценции следующее: $A - 595$, $B - 615$, $B - 667$, $\Gamma - 688$ нм.

Анализ представленных результатов показал, что в области края фундаментального поглощения обнаружено два канала (A и B) стимулированного излучения, соответственно работающих при различных значениях напряженности прикладываемого электрического поля, т. е. в кристаллах GaSe существует два механизма инверсной заселенности с разным пороговым напряжением.

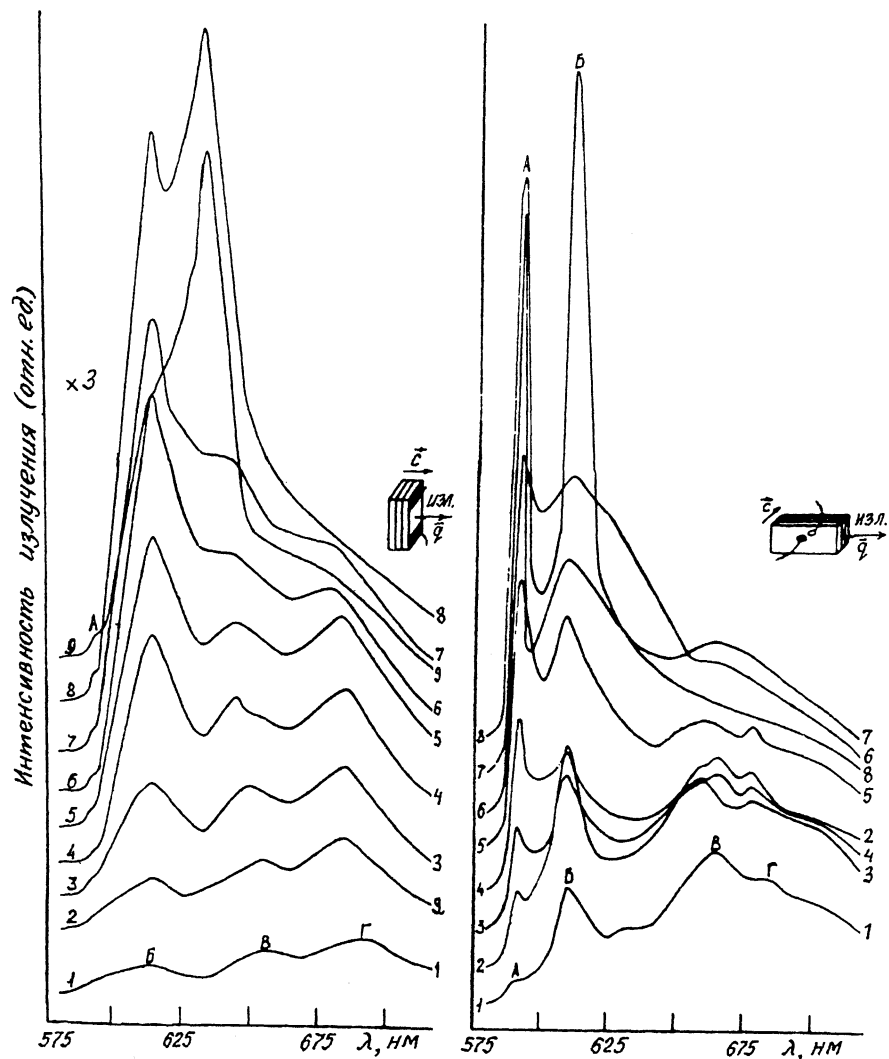


Рис. 1. Спектры электролюминесценции GaSe при 77 К в двух геометриях наблюдения:

$q \perp C$: 1 — 450, 2 — 530, 3 — 550, 4 — 660, 5 — 720, 6 — 760, 7 — 820, 8 — 840 В/см; $q \parallel C$: 1 — 230, 2 — 280, 3 — 340, 4 — 390, 5 — 450, 6 — 500, 7 — 560, 8 — 670, 9 — 780 В/см.

Для линий А и Б суперлинейная зависимость от E исключает примесное излучение, излучательную рекомбинацию связанного экситона и фоновую реплику свободного экситона. Несовпадение энергетических положений А, Б и линии фотолюминесценции, обусловленных излучательной рекомбинацией свободных прямых и непрямых экситонов, а

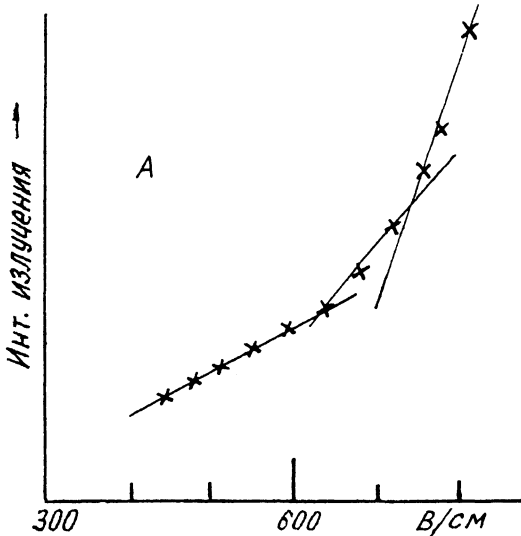


Рис. 2. Зависимость интенсивности излучения (линия A $\mathbf{q} \perp \mathbf{C}$) от напряженности электрического поля.

также суперлинейная зависимость интенсивности при $720 < E \leq 820$ В/см в геометрии $\mathbf{q} \perp \mathbf{C}$ и при $450 < E \leq 670$ В/см в $\mathbf{q} \parallel \mathbf{C}$, сужение, поляризованность и направленность излучения линий А и Б характеризуют обнаружение стимулированного излучения вследствие экситон-экситонного взаимодействия [1,3,5].

В противоположность к сказанному линии В и Г не может быть благодаря совместным экситонным процессам, вследствие отсутствия стимуляции даже при высоких значениях напряженности прикладываемого электрического поля и удаленности от области экситонных переходов. Коротковолновый сдвиг с ростом Е и длинноволновое смещение с увеличением времени задержки момента регистрации относительно возбуждающего импульса показывают, что наиболее подходящим объяснением возникновения линий Б и Г может являться рекомбинация через донорно-акцепторные пары (ДАП).

В заключение отметим, что усиление оптического спектра и сильный внешний квантовый выход различных оптических усилительных процессов был измерен с приведением доказательства практического интереса к этому материалу как когерентному источнику, что непосредственно ведет к работе лазера в слоистых соединениях.

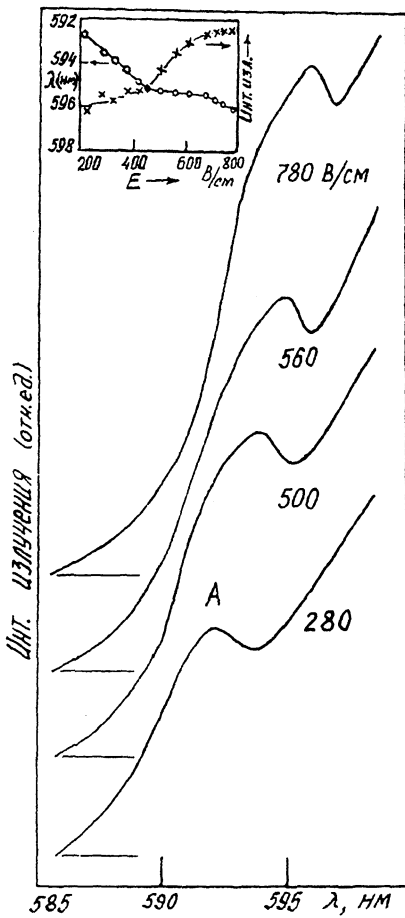


Рис. 3. Зависимость интенсивности от длины волны излучения (линия A $\mathbf{q} \parallel \mathbf{C}$) в электрическом поле.

На вставке — зависимости интенсивности и длины волны излучения от напряженности электрического поля.

Список литературы

- [1] Mayde D., Manu H. // Phys. Rev. Lett. 1970. V. 24. P. 890.
- [2] Kukimoto H., Shionoya S., Kamejima T. // J. Phys. Soc. Jap. 1971. V. 30. P. 1662.
- [3] Ugumori T., Masuda K., Namba S. // Phys. Lett. 1972. V. 38A. P. 117.
- [4] Ugumori T., Masuda K., Namba S. // Sol. St. Commun. 1973. V. 12. N 5. P. 389-391.
- [5] Закс Е., Гальперин А. // Изв. АН СССР. Сер. физич. 1973. Т. 37. В. 3. С. 551-555.

Институт физики
Баку, Азербайджан

Поступило в Редакцию
17 марта 1994 г.
В окончательной редакции
13 октября 1994 г.
